

# GAME

(GEWEX Asian Monsoon Experiment)

**Phase I**

**Summary Reports**



**GEWEX Asian Monsoon Experiment**

**March, 2003**

**edited by**

**T. Yasunari, K. Nakamura, A. Higuchi and J. Asanuma**

# **GAME**

**(GEWEX Asian Monsoon Experiment)**

**Phase I**

**Summary Reports**

**March, 2003**

**edited by**

**T. Yasunari, K. Nakamura, A. Higuchi and J. Asanuma**

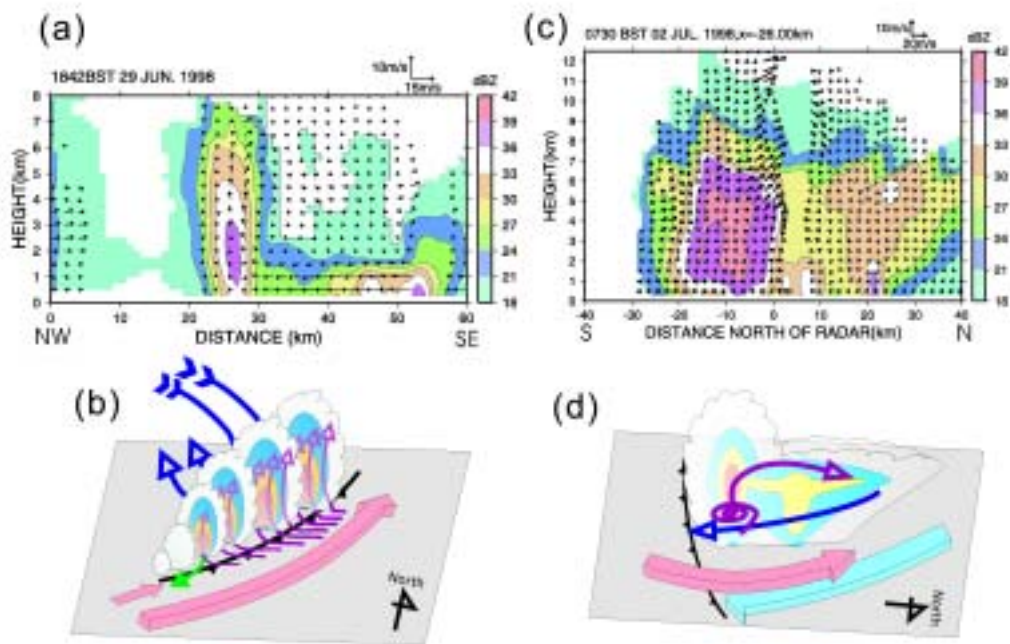


図1 GAME/HUBEX 1998 観測でドップラーレーダーサイト付近に降水をもたらした降水システム。a) 1998年6月29日1842BSTに観測された降水システムのデュアルドップラーレーダー解析。b) (a)の降水システムの概念モデル。c) 1998年7月2日0751BSTに観測された降水システムのデュアルドップラーレーダー解析。d) (c)の降水システムの概念モデル。「亜熱帯・温帯エネルギー・水循環過程」班の成果から。

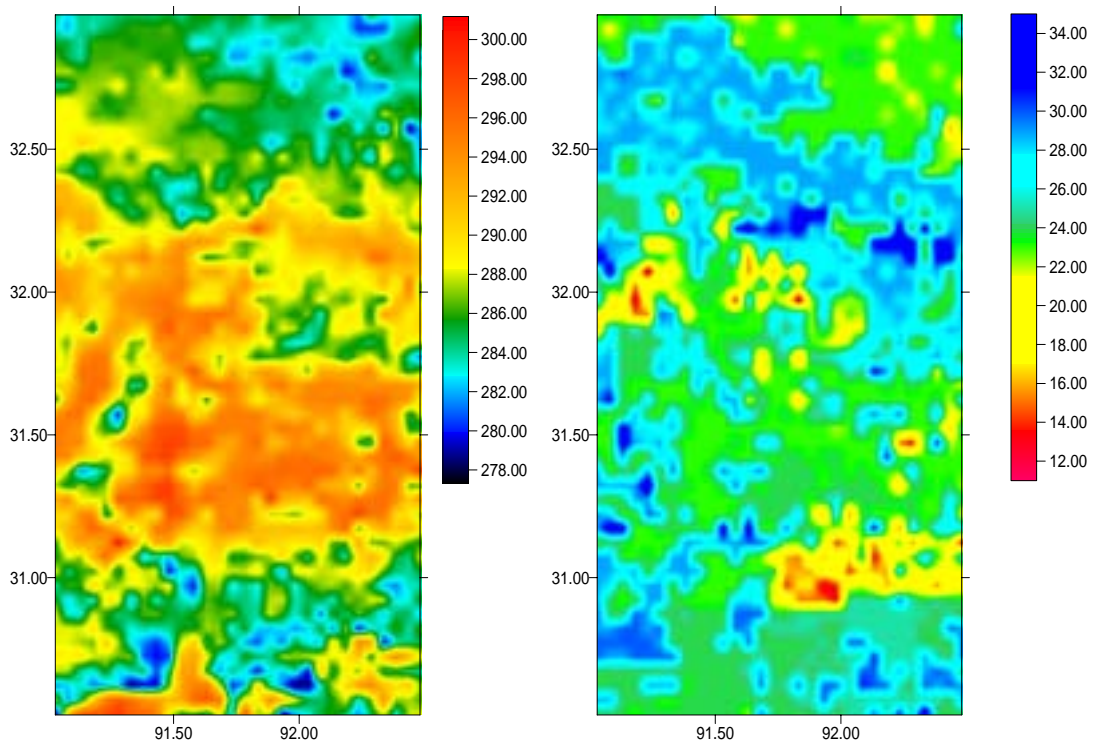
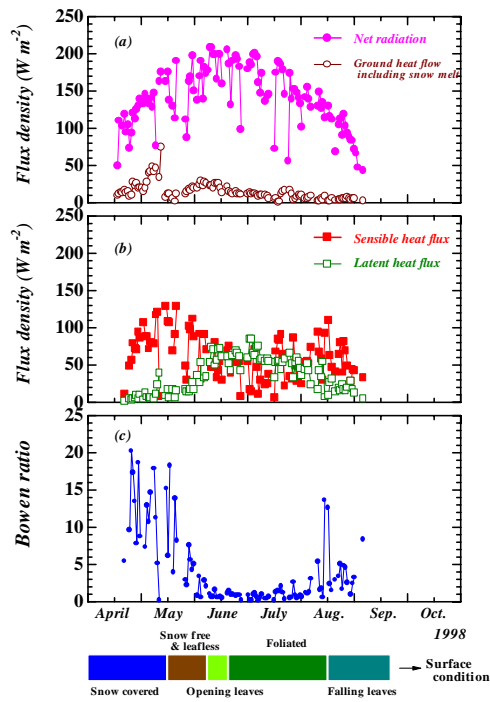
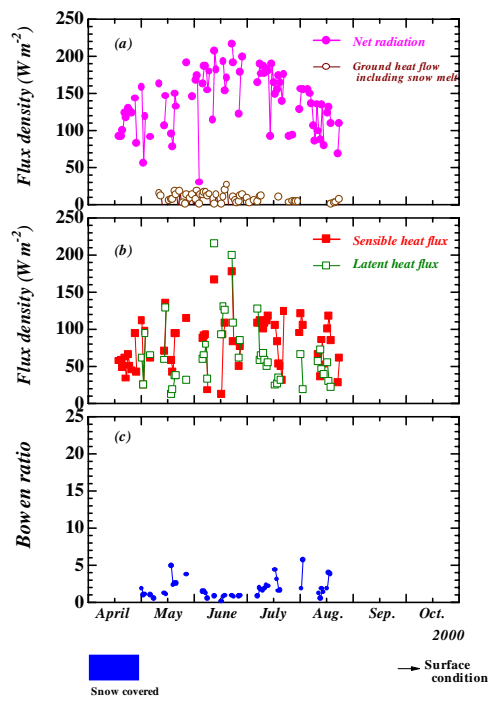


図2 陸面スキーム(PF/SiB2)とマイクロ波放射伝達モデルを組み合わせた陸面データ同化システムを、TRMM/TMI データと「チベット高原陸面エネルギー・水循環過程」班のデータに適用して得られた表層土壌水分，地温マップ。



Seasonal variations of the energy budget and the Bowen ratio above a larch forest at Spasskaya Pad, Eastern Siberia



Seasonal variations of the energy budget and the Bowen ratio above a pine forest at Spasskaya Pad, Eastern Siberia

図3 1998年、2000年のヤクーツク、カラマツ林における生物季節進行と熱収支各要素の変化(「シベリア生物圏エネルギー・水循環過程」班の成果から)

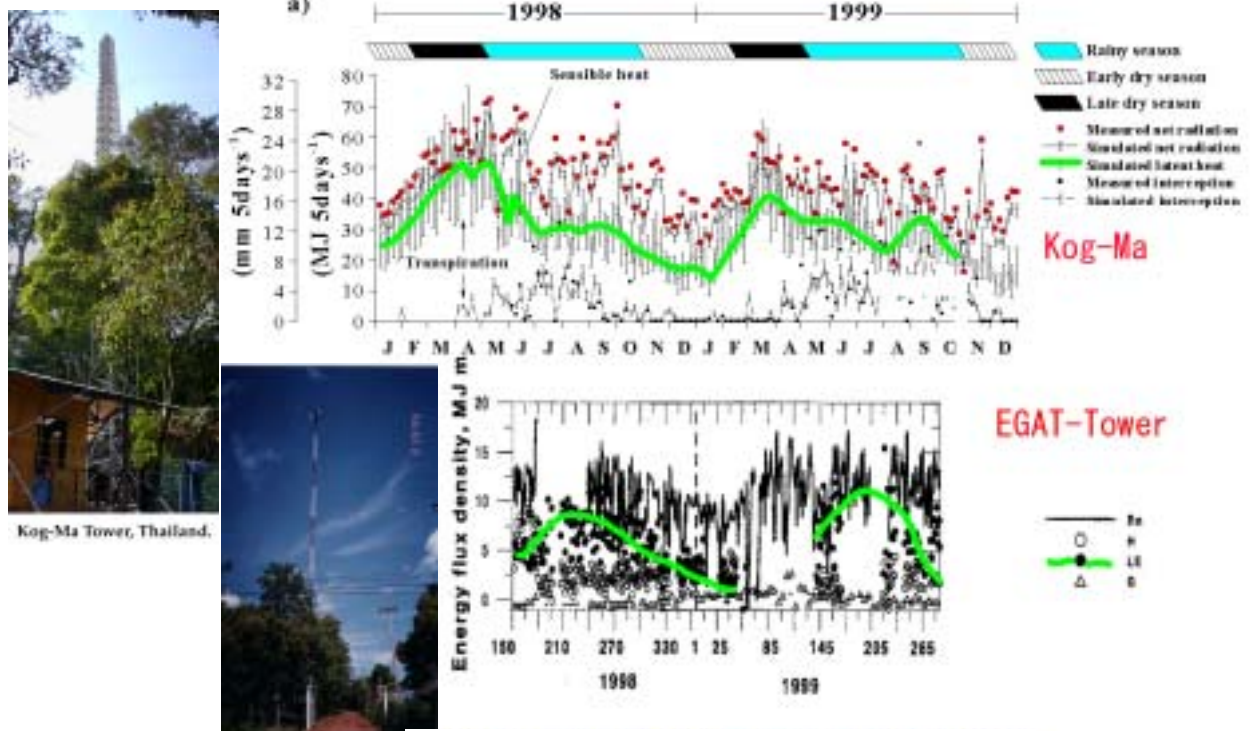


図4 「熱帯エネルギー・水循環過程」班のフラックスサイト(Kog-Ma,EGAT-Tower)での熱収支季節変化比較。